

Disclaimer: Diese Zusammenfassung wurde im Rahmen der "Elektromagnetische Felder und Wellen" - Vorlesung von Prof. Dr. Lukas Novotny im FS22 geschrieben.

Als Basis dienten die Zusammenfassungen von Teodora Rajkovic und Nicolas Schmid sowie die Vorlesungsunterlagen.

Es besteht keine Garantie für Vollständigkeit & Korrektheit dieses Dokuments, jedoch bin ich froh über Fehler informiert zu werden oder bei Fragen zu helfen: ldewindt@ethz.ch

Zürich, der 07.12.2022 Lina De Windt

Komplexe Zahlen

$z = x + iy = re^{i\varphi}$ wobei $|z| = r = \sqrt{x^2 + y^2}$, $\varphi = \arctan\left(\frac{\text{Im}(z)}{\text{Re}(z)}\right) = \arctan\left(\frac{y}{x}\right)$
 $z^* = x - iy = r e^{-i\varphi}$ $z z^* = |z|^2$
 $e^{i\varphi} = \cos(\varphi) + i \sin(\varphi)$
 $\cos(\varphi) = \frac{1}{2}(e^{i\varphi} + e^{-i\varphi})$, $\sin(\varphi) = \frac{1}{2i}(e^{i\varphi} - e^{-i\varphi})$
 $\cos(\varphi) = \text{Re}\{e^{i\varphi}\} = \text{Im}\{i e^{i\varphi}\}$
 $\sin(\varphi) = \text{Im}\{e^{i\varphi}\} = \text{Re}\{-i e^{i\varphi}\}$
 $\text{Im}(z) = -\frac{1}{2i}(z - z^*)$
 $z = (x_1 + iy_1)(x_2 + iy_2) = (x_1 x_2 - y_1 y_2) + i(x_1 y_2 + y_1 x_2)$
 $i = e^{i\frac{\pi}{2}}$, $-1 = e^{i\pi}$ $\sqrt[n]{z} = \sqrt[n]{r} e^{i(\frac{\varphi + 2k\pi}{n})}$, $k \in \{0, 1, \dots, n-1\}$

Fouriertransformation

1D: $\hat{f}(\omega) = \mathcal{F}\{f(t)\}(\omega) = \int_{-\infty}^{\infty} f(t) e^{i\omega t} dt$
 $f(t) = \mathcal{F}^{-1}\{\hat{f}(\omega)\}(t) = \int_{-\infty}^{\infty} \hat{f}(\omega) e^{-i\omega t} d\omega$

Wichtige Eigenschaften:
 $\alpha f(t) + \beta g(t) \rightarrow \alpha \hat{f}(\omega) + \beta \hat{g}(\omega)$
 $f(t) e^{iat} \rightarrow \hat{f}(\omega - a)$
 $f(t - a) \rightarrow \hat{f}(\omega) e^{-i\omega a}$
 $\frac{1}{|a|} f\left(\frac{t}{a}\right) \rightarrow \hat{f}(a\omega)$
 $f(at) \rightarrow \frac{1}{|a|} \hat{f}\left(\frac{\omega}{a}\right)$
 $t^n f(t) \rightarrow (-i)^n \frac{\partial}{\partial \omega} \hat{f}(\omega)$
 $\left(\frac{d}{dt}\right)^n f(t) \rightarrow (-i\omega)^n \hat{f}(\omega)$
 $f(t) g(t) \rightarrow (\hat{f} * \hat{g})(\omega)$
 $(f * g)(t) \rightarrow 2\pi \hat{f}(\omega) \hat{g}(\omega)$

einige Transformationen:
 $-1 \leq t \leq 1 \rightarrow \frac{\sin(L\omega)}{L\omega} = \frac{1}{L} \text{sinc}(L\omega)$
 $0 \text{ sonst} \rightarrow \frac{1}{\omega} e^{-i\omega/4}$
 $e^{-at^2} (a > 0) \rightarrow \frac{\sqrt{4\pi a}}{2k} e^{-k^2/4a}$
 $\frac{1}{k^2 + t^2} (k > 0) \rightarrow \frac{1}{2k} e^{-k|\omega|}$
 $e^{iat} \rightarrow \delta(\omega + a)$
 $\cos(at) \rightarrow \frac{1}{2}(\delta(\omega + a) + \delta(\omega - a))$
 $\sin(at) \rightarrow \frac{1}{2i}(\delta(\omega + a) - \delta(\omega - a))$
 $\hat{A}(\omega) = \hat{A}^*(-\omega) \Leftrightarrow A(t) \in \mathbb{R}$

Spatial Fourier Transform

$E(x) = \int_{-\infty}^{\infty} \hat{E}(k_x) e^{ik_x x} dk_x \rightarrow \hat{E}(k_x) = \frac{1}{2\pi} \int_{-\infty}^{\infty} E(x) e^{-ik_x x} dx$
 $e^{-iax} \rightarrow \delta(a + k_x)$, $e^{iax} \rightarrow \delta(k_x - a)$, $\delta(x) \rightarrow \frac{1}{2\pi}$, $1 \rightarrow \delta(k)$
 $\text{rect}(x/L) \rightarrow \frac{1}{2\pi|L|} \frac{\sin(k_x L/2)}{k_x/2L}$, $\frac{\sin(x/L)}{x/L} \rightarrow \frac{1}{2L} \text{rect}\left(\frac{k_x}{2L}\right)$

Trigwules

$\arctan(-x) = \frac{\pi}{2} - \arctan(x)$, $x \in \mathbb{R}$
 $\sin^2(x) + \cos^2(x) = 1$
 $\sin(-x) = -\sin(x)$, $\cos(-x) = \cos(x)$
 $\sin(x \pm y) = \sin(x)\cos(y) \pm \cos(x)\sin(y)$, $\cos(x \pm y) = \cos(x)\cos(y) \mp \sin(x)\sin(y)$
 $\sin(x)\sin(y) = \frac{1}{2}(\cos(x-y) - \cos(x+y))$, $\cos(x)\cos(y) = \frac{1}{2}(\cos(x-y) + \cos(x+y))$
 $\sin(x)\cos(y) = \frac{1}{2}(\sin(x-y) + \sin(x+y))$, $\sin(\alpha) + \sin(\beta) = 2\sin\left(\frac{\alpha+\beta}{2}\right)\cos\left(\frac{\alpha-\beta}{2}\right)$
 $\sin^2(x) = \frac{1}{2}(1 - \cos(2x))$, $\cos^2(x) = \frac{1}{2}(1 + \cos(2x))$, $\cos(\alpha) + \cos(\beta) = 2\cos\left(\frac{\alpha+\beta}{2}\right)\cos\left(\frac{\alpha-\beta}{2}\right)$

Periodische Funktionen, Integraltabelle:

	$\int_0^{\pi/4}$	$\int_0^{\pi/2}$	\int_0^{π}	$\int_0^{2\pi}$	$\int_{-\pi/4}^{\pi/4}$	$\int_{-\pi/2}^{\pi/2}$	$\int_{-\pi}^{\pi}$		$\int_0^{\pi/4}$	$\int_0^{\pi/2}$	\int_0^{π}	$\int_0^{2\pi}$	$\int_{-\pi/4}^{\pi/4}$	$\int_{-\pi/2}^{\pi/2}$	$\int_{-\pi}^{\pi}$
\sin	$\frac{\sqrt{2}-1}{\sqrt{2}}$	1	2	0	0	0	0	\cos^3	$\frac{5}{6\sqrt{2}}$	$\frac{2}{3}$	0	0	0	0	0
\sin^2	$\frac{\pi-1}{8}$	$\frac{\pi}{4}$	$\frac{\pi}{2}$	π	$\frac{\pi-2}{4}$	$\frac{\pi}{2}$	π	\cos^4	$\frac{8+3\pi}{32}$	$\frac{3\pi}{16}$	$\frac{3\pi}{8}$	$\frac{3\pi}{4}$	$\frac{8+3\pi}{16}$	$\frac{3\pi}{8}$	$\frac{3\pi}{4}$
\sin^3	$\frac{8-5\sqrt{2}}{12}$	$\frac{2}{3}$	$\frac{4}{3}$	0	0	0	0	$\sin \cdot \cos$	$\frac{1}{4}$	$\frac{1}{2}$	0	0	0	0	0
\sin^4	$\frac{3\pi-8}{32}$	$\frac{3\pi}{16}$	$\frac{3\pi}{8}$	$\frac{3\pi}{4}$	$\frac{3\pi-8}{16}$	$\frac{3\pi}{8}$	$\frac{3\pi}{4}$	$\sin^2 \cdot \cos$	$\frac{1}{6\sqrt{2}}$	$\frac{1}{3}$	0	0	$\frac{1}{3\sqrt{2}}$	$\frac{2}{3}$	0
\cos	$\frac{1}{\sqrt{2}}$	1	0	0	$\sqrt{2}$	2	0	$\sin \cdot \cos^2$	$\frac{4-\sqrt{2}}{12}$	$\frac{1}{3}$	$\frac{2}{3}$	0	0	0	0
\cos^2	$\frac{2+\pi}{8}$	$\frac{\pi}{4}$	$\frac{\pi}{2}$	π	$\frac{\pi-2}{4}$	$\frac{\pi}{2}$	π								

Volumenelement (dV): Kartesisch: dx dy dz

Zylindrisch: $\rho d\rho d\varphi dz$
 Sphärisch: $r^2 \sin\theta dr d\theta d\varphi$

Transformationssatz:

Sei $\Omega \subseteq \mathbb{R}^d$, $\Phi: \Omega \rightarrow \Phi(\Omega) \subseteq \mathbb{R}^d$ ein Diffeomorphismus. Falls f auf $\Phi(\Omega)$ integrierbar ist, dann gilt:

$$\int_{\Phi(\Omega)} f(\vec{y}) d\vec{y} = \int_{\Omega} f(\Phi(\vec{x})) |\det D\Phi(\vec{x})| d\vec{x}$$

Bsp.: Kartesisch \rightarrow Polarkoordinaten $\Phi: (r, \varphi, z) \rightarrow (r \cos \varphi, r \sin \varphi, z)$, $|\det D\Phi| = r$

Integralsätze

Satz von Stokes (in 2D: Green):

$\int_{\partial \Omega} \vec{v} \times \vec{A} \cdot d\vec{A} = \int_{\Omega} \nabla \cdot \vec{A} dV$

Satz von Gauss: 2D:

$\oint_{\partial \Omega} \vec{A} \cdot \vec{n} dA = \iint_{\Omega} \nabla \cdot \vec{A} dA$
 Flussintegral in der Ebene \rightarrow Oberflächenintegral

3D:

$\oint_{\partial \Omega} \vec{A} \cdot \vec{n} dA = \iiint_{\Omega} \nabla \cdot \vec{A} dV$
 Flussintegral von VF über Oberfläche \rightarrow Volumenintegral

Geometrie

Kugel: Oberfläche: $4\pi R^2$ Volumen: $\frac{4}{3}\pi R^3$
Zylinder: Mantelfläche: $M = 2\pi r h$ Volumen: $V = \pi r^2 h$
Kreis: $K = \{(x, y) \in \mathbb{R}^2 \mid (x - x_0)^2 + (y - y_0)^2 = r^2\}$ $r \in \mathbb{R}_{>0}$: Radius
 Fläche: $A = \pi r^2$, Umfang: $U = 2\pi r$, Volumen: $V = \dots$
 $\gamma(t) = (x_0 + r \cos(t), y_0 + r \sin(t))^T$, $t \in [0, 2\pi)$ $\vec{n} = \frac{1}{r} \begin{pmatrix} x \\ y \end{pmatrix}$ MP(O,0)

Ellipse: $E = \{(x, y) \in \mathbb{R}^2 \mid \frac{(x-x_0)^2}{a^2} + \frac{(y-y_0)^2}{b^2} = 1\}$ $a, b \in \mathbb{R}_{>0}$: Halbachsen
 $\gamma(t) = (x_0 + a \cos(t), y_0 + b \sin(t))^T$, $t \in [0, 2\pi)$

Ellipsoidkoordinaten:

$\Phi: (0, \infty) \times [0, 2\pi) \times [0, \pi] \rightarrow \mathbb{R}^3$
 $\Phi(r, \varphi, \theta) = \begin{pmatrix} r \cos(\varphi) \sin(\theta) \\ r \sin(\varphi) \sin(\theta) \\ r \cos(\theta) \end{pmatrix}$
 $\det(D\Phi(r, \varphi, \theta)) = abc r^2 \sin(\theta)$

Integraltypen

Über Skalarfeld: $\int_{\gamma} f(\vec{x}) d\vec{s} = \int_a^b f(\vec{\gamma}(t)) \|\dot{\gamma}(t)\| dt$
 Komf: $\int_C f(x) dx = \int_a^b f(\gamma(t)) \dot{\gamma}(t) dt$

Über Vektorfeld: $\int_{\gamma} \vec{v}(\vec{x}) d\vec{s} = \int_a^b \vec{v}(\vec{\gamma}(t)) \dot{\gamma}(t) dt$
 \hookrightarrow über geschlossener Weg \rightarrow Green/Stokes
 \hookrightarrow entlang des Wegs, d.h. Tangentialkomponente!

Flussintegral in der Ebene: $\int_{\gamma} \vec{v} d\vec{n} = \int_{\gamma} \vec{v} \cdot \vec{n} ds = \int_a^b \vec{v}(\vec{\gamma}(t)) \cdot \vec{n}(\dot{\gamma}(t)) dt$
 \hookrightarrow $\hat{=}$ Wegintegral über VF, aber Normalkomponente davon
 \hookrightarrow Flussintegral in der Ebene durch ein geschlossener Weg \rightarrow Gauss (2D)

Flussintegral von Vektorfeld über Oberfläche: Δ Gebiet links!
 $\iint_S \vec{A}(\vec{x}) \cdot d\vec{s} = \pm \iint_B A(\Phi) \left(\frac{\partial \Phi}{\partial u} \times \frac{\partial \Phi}{\partial v} \right) du dv$ wobei: $\Phi: B \rightarrow \mathbb{R}^3$ (Parametrisierung von S)
 $d\vec{s} = \vec{n} \cdot dS$ Fluss von innen nach aussen / aussen nach innen
 \hookrightarrow Flussintegral von Vektorfeld über eine geschlossene Oberfläche oder wenn VF=0 \cup Punkte ausserhalb der Fläche \rightarrow Gauss (3D)

Flussintegral von Skalarfeld über Oberfläche: Δ Gebiet links!
 $\iint_S f(\vec{x}) d\mu = \iint_B f(\Phi) \left\| \frac{\partial \Phi}{\partial u} \times \frac{\partial \Phi}{\partial v} \right\| du dv$ wobei: $\Phi: B \rightarrow \mathbb{R}^3$ (u,v) \rightarrow S
 Flächenelement: $\| \frac{\partial \Phi}{\partial u} \times \frac{\partial \Phi}{\partial v} \| du dv = |\det D\Phi| du dv$ \rightarrow Gauss (3D)

Allgemeines Volumenintegral: $\int_V f(x) dV$
 \hookrightarrow kartesisch: $\int_x \int_y \int_z f(x,y,z) dx dy dz$
 \hookrightarrow zylindrisch: $\int_{\rho} \int_{\varphi} \int_z f(\rho, \varphi, z) \rho d\rho d\varphi dz$
 \hookrightarrow sphärisch: $\int_r \int_{\vartheta} \int_{\varphi} f(r, \vartheta, \varphi) r^2 \sin\theta dr d\vartheta d\varphi$

SI-Einheiten

$[E] = [W] = \text{Joule } J = \frac{\text{kg} \cdot \text{m}^2}{\text{s}^2}$ $\epsilon_0 = 8.854 \times 10^{-12} \frac{\text{As}}{\text{Vm}}$ $J_0 = \frac{V \cdot s}{A \cdot m}$
 $[P] = \text{Watt } W = \frac{J}{s}$ $[F] = \text{Newton} = \frac{\text{kg} \cdot \text{m}}{\text{s}^2}$
 $[R] = \text{Ohm } \Omega = \frac{\text{kg} \cdot \text{m}^2}{\text{As}^3}$
 $[U] = \text{Volt } V = \frac{\text{kg} \cdot \text{m}^2}{\text{As}^3}$
 $[B] = \text{Henry } H = \frac{V \cdot s}{A}$
 $[H] = \text{Tesla } T = \frac{\text{kg}}{\text{As}^2}$

Koordinatentransformation, how:
 z.B. Kartesisch \rightarrow Kugel $\Rightarrow A = \begin{pmatrix} A_x \\ A_y \\ A_z \end{pmatrix}$
 $\rightarrow A_r = A \cdot \vec{n}_r = A_x \sin\theta \cos\phi \vec{n}_x + A_y \sin\theta \sin\phi \vec{n}_y + A_z \cos\theta \vec{n}_z$
 \vec{n}_r in Kart. Koord.
 $= A_x \sin\theta \cos\phi + A_y \sin\theta \sin\phi + A_z \cos\theta$
 analog für A_{θ} , A_{ϕ} , auch für Kugel \rightarrow Kart.:
 $B = \begin{pmatrix} B_r \\ B_{\theta} \\ B_{\phi} \end{pmatrix} \rightarrow B_x = B \cdot \vec{n}_x = B_r \sin\theta \cos\phi + B_{\theta} \cos\theta \cos\phi - B_{\phi} \sin\phi$
 \vec{n}_x in Kugelkoordinaten

$x = r \cos\phi \sin\theta$
 $y = r \sin\phi \sin\theta$ ersetzen.
 $z = r \cos\theta$
 falls $B_r, B_{\theta}, B_{\phi}$ Fkt. von r, θ, ϕ sind, mit
 $r = \sqrt{x^2 + y^2 + z^2}$
 $\theta = \arccos \frac{z}{r}$ ersetzen.
 $\phi = \arctan \frac{y}{x}$

Koordinatensysteme

Einheitsvektoren

Kartesisch \rightarrow Sphärisch:

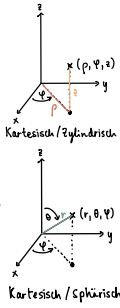
Sphärisch \rightarrow Kartesisch

$$\begin{aligned} \vec{n}_x &= \sin\theta \cos\varphi \vec{n}_r + \cos\theta \cos\varphi \vec{n}_\theta - \sin\varphi \vec{n}_\varphi \\ \vec{n}_y &= \sin\theta \sin\varphi \vec{n}_r + \cos\theta \sin\varphi \vec{n}_\theta + \cos\varphi \vec{n}_\varphi \\ \vec{n}_z &= \cos\theta \vec{n}_r - \sin\theta \vec{n}_\theta \end{aligned}$$

$$\begin{aligned} \vec{n}_r &= \frac{x}{r} \vec{n}_x + \frac{y}{r} \vec{n}_y + \frac{z}{r} \vec{n}_z \\ \vec{n}_\theta &= \frac{xz}{r\sqrt{x^2+y^2}} \vec{n}_x + \frac{yz}{r\sqrt{x^2+y^2}} \vec{n}_y - \frac{x^2+y^2}{r\sqrt{x^2+y^2}} \vec{n}_z \\ \vec{n}_\varphi &= -\frac{y}{\sqrt{x^2+y^2}} \vec{n}_x + \frac{x}{\sqrt{x^2+y^2}} \vec{n}_y \end{aligned}$$

Transformation:

Zu	Von	Kartesisch	Zylindrisch	Sphärisch
Kartesisch			$x = \rho \cos\varphi$ $y = \rho \sin\varphi$ $z = z$	$x = r \sin\theta \cos\varphi$ $y = r \sin\theta \sin\varphi$ $z = r \cos\theta$
Zylindrisch		$\rho = \sqrt{x^2+y^2}$ $\varphi = \arctan \frac{y}{x}$ $z = z$		$\rho = r \sin\theta$ $\varphi = \varphi$ $z = r \cos\theta$
Sphärisch		$r = \sqrt{x^2+y^2+z^2}$ $\theta = \arccos \frac{z}{r}$ $\varphi = \arctan \frac{y}{x}$	$r = \sqrt{\rho^2+z^2}$ $\theta = \arctan \frac{\rho}{z}$ $\varphi = \varphi$	



Vektoroperatoren

$\nabla \cdot$: Kartesisch: $\frac{\partial}{\partial x} \vec{n}_x + \frac{\partial}{\partial y} \vec{n}_y + \frac{\partial}{\partial z} \vec{n}_z$ $\nabla \times$: skalarfeld, \vec{A} Vektorfeld

Zylindrisch: $\frac{\partial}{\partial \rho} \vec{n}_\rho + \frac{1}{\rho} \frac{\partial}{\partial \varphi} \vec{n}_\varphi + \frac{\partial}{\partial z} \vec{n}_z$

Sphärisch: $\frac{\partial}{\partial r} \vec{n}_r + \frac{1}{r} \frac{\partial}{\partial \theta} \vec{n}_\theta + \frac{1}{r \sin\theta} \frac{\partial}{\partial \varphi} \vec{n}_\varphi$

$\nabla^2 \phi$: Kartesisch: $\frac{\partial^2 \phi}{\partial x^2} + \frac{\partial^2 \phi}{\partial y^2} + \frac{\partial^2 \phi}{\partial z^2}$

Zylindrisch: $\frac{1}{\rho} \frac{\partial}{\partial \rho} (\rho \frac{\partial \phi}{\partial \rho}) + \frac{1}{\rho^2} \frac{\partial^2 \phi}{\partial \varphi^2} + \frac{\partial^2 \phi}{\partial z^2}$

Sphärisch: $\frac{1}{r^2} \frac{\partial}{\partial r} (r^2 \frac{\partial \phi}{\partial r}) + \frac{1}{r^2 \sin\theta} \frac{\partial}{\partial \theta} (\sin\theta \frac{\partial \phi}{\partial \theta}) + \frac{1}{r^2 \sin^2\theta} \frac{\partial^2 \phi}{\partial \varphi^2}$

$\nabla \cdot \vec{A}$: Kartesisch: $\frac{\partial A_x}{\partial x} + \frac{\partial A_y}{\partial y} + \frac{\partial A_z}{\partial z}$

Zylindrisch: $\frac{1}{\rho} \frac{\partial}{\partial \rho} (\rho A_\rho) + \frac{1}{\rho} \frac{\partial A_\varphi}{\partial \varphi} + \frac{\partial A_z}{\partial z}$

Sphärisch: $\frac{1}{r^2} \frac{\partial}{\partial r} (r^2 A_r) + \frac{1}{r \sin\theta} \frac{\partial}{\partial \theta} (A_\theta \sin\theta) + \frac{1}{r \sin\theta} \frac{\partial A_\varphi}{\partial \varphi}$

$\nabla \times \vec{A}$: Kartesisch: $(\frac{\partial A_z}{\partial y} - \frac{\partial A_y}{\partial z}) \vec{n}_x + (\frac{\partial A_x}{\partial z} - \frac{\partial A_z}{\partial x}) \vec{n}_y + (\frac{\partial A_y}{\partial x} - \frac{\partial A_x}{\partial y}) \vec{n}_z$

Zylindrisch: $(\frac{1}{\rho} \frac{\partial A_z}{\partial \varphi} - \frac{\partial A_\varphi}{\partial z}) \vec{n}_\rho + (\frac{\partial A_\rho}{\partial z} - \frac{\partial A_z}{\partial \rho}) \vec{n}_\varphi + \frac{1}{\rho} (\frac{\partial}{\partial \rho} (\rho A_\varphi) - \frac{\partial A_\rho}{\partial \varphi}) \vec{n}_z$

Sphärisch: $\frac{1}{r \sin\theta} (\frac{\partial}{\partial \theta} (A_\varphi \sin\theta) - \frac{\partial A_\varphi}{\partial \varphi} \sin\theta) \vec{n}_r + \frac{1}{r} (\frac{\partial A_r}{\partial \varphi} - \frac{\partial}{\partial \theta} (r A_\theta)) \vec{n}_\theta + \frac{1}{r \sin\theta} (\frac{\partial}{\partial \theta} (r A_\theta) - \frac{\partial A_r}{\partial \theta}) \vec{n}_\varphi$

$\nabla^2 \vec{A}$: Kartesisch: $\nabla^2 \vec{A} = \nabla^2 A_x \vec{n}_x + \nabla^2 A_y \vec{n}_y + \nabla^2 A_z \vec{n}_z$

Zylindrisch:

Sphärisch:

$$\begin{aligned} & (\nabla^2 A_r - \frac{2A_r}{r^2} - \frac{2}{r^2 \sin\theta} \frac{\partial (A_\theta \sin\theta)}{\partial \theta} - \frac{2}{r^2 \sin\theta} \frac{\partial A_\varphi}{\partial \varphi}) \vec{n}_r \\ & + (\nabla^2 A_\theta - \frac{A_\theta}{r^2 \sin^2\theta} + \frac{2}{r^2} \frac{\partial A_r}{\partial \theta} - \frac{2 \cos\theta}{r^2 \sin^3\theta} \frac{\partial A_\varphi}{\partial \varphi}) \vec{n}_\theta \\ & + (\nabla^2 A_\varphi - \frac{A_\varphi}{r^2 \sin^2\theta} + \frac{2}{r^2 \sin\theta} \frac{\partial A_r}{\partial \varphi} + \frac{2 \cos\theta}{r^2 \sin^3\theta} \frac{\partial A_\theta}{\partial \theta}) \vec{n}_\varphi \end{aligned}$$

Wichtige Größen:

- Kreiswellenzahl: $k = \frac{\omega}{v} = \frac{2\pi f}{v} = \frac{2\pi}{\lambda}$ $[k] = m^{-1}$
- Kreisfrequenz: $\omega = 2\pi f = \frac{2\pi}{T} = v \cdot k$ (\neq Winkelgeschwindigkeit)
- Phasen/Winkelgeschwindigkeit: $v = \lambda f = \frac{\omega}{k}$
- Wellenlänge: $\lambda = \frac{\omega}{k f} = \frac{\omega T}{k} = v T = \frac{2\pi}{k}$ $[\lambda] = m$
- $\lambda_{\text{Medium}} = \frac{v_{\text{Medium}}}{f}$

Geschwindigkeiten Überblick:

- Seilwelle: $v = \sqrt{\frac{S}{\mu}}$ S.. Seilspannung, μ .. Seildichte
- Schallwelle: $v = \sqrt{\frac{E}{\rho}}$ E.. Elastizitätsmodul, ρ .. Dichte (Medium)
- Saite: $v = \sqrt{\frac{F}{\mu}}$ μ .. lineare Dichte (= "Dichte in 1 Dim.") $[\mu] = kg/m$
- $n = \frac{c_0}{v}$ mit n.. Brechungsindex

Vektorpotential eines magn. Körpers ist i.A.:

$$A(\vec{r}) = \frac{\mu_0}{4\pi} \int_V \frac{\vec{j}_b(\vec{r}')}{R} dV' + \frac{\mu_0}{4\pi} \oint_{\partial V} \frac{\vec{K}_b(\vec{r}')}{R} dA'$$

mit $\vec{j}_b(\vec{r}') = \nabla' \times \vec{M}(\vec{r}')$ und $\vec{K}_b(\vec{r}') = \vec{M}(\vec{r}') \times \vec{n}$

Vektorpotential eines Körpers mit Stromdichte \vec{j}_b im Inneren Flächenstromdichte \vec{K}_b auf der Oberfläche

Magnetfeld \vec{B} im Inneren einer homogen magnetisierten Kugel mit Magnetisierung \vec{M} : $\vec{B} = \frac{2}{3} \mu_0 \vec{M}$

Grassmann-Identität für Kreuzprodukt: $\vec{a} \times (\vec{b} \times \vec{c}) = (\vec{a} \cdot \vec{c}) \vec{b} - (\vec{a} \cdot \vec{b}) \vec{c}$ bzw. $(\vec{a} \times \vec{b}) \times \vec{c} = (\vec{a} \cdot \vec{c}) \vec{b} - (\vec{b} \cdot \vec{c}) \vec{a}$

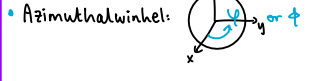
- $\chi_m =$ Magnetisierbarkeit
- $\vec{M} = \chi_m \vec{H} = \chi_m \frac{\vec{B}}{\mu_0 \mu_r}$ $\mu = 1 + \chi_m$, $\vec{B} = \mu_0 \mu_r \vec{H}$
- "Magnetfeld" = \vec{B}
- $U = -\frac{\partial}{\partial t} \Phi$, $\Phi = N \Phi_A$, $\Phi_A = \int \vec{B}_i \cdot d\vec{A}$ Φ_A : magnetischer Strom
- Induktionsgesetz: $u(t) = \oint \vec{E} \cdot d\vec{s} = -N \frac{\partial}{\partial t} \Phi_A = -N \frac{\partial}{\partial t} \int \vec{B} \cdot d\vec{A}$

Vektorpotential eines beliebigen magnetischen Körpers endlicher Ausdehnung: $A(\vec{r}) = \frac{\mu_0}{4\pi} \int \frac{\vec{j}_b(\vec{r}') \times \vec{R}}{R^3} dV'$ $\vec{R} = \vec{r} - \vec{r}'$ $\Delta \text{ dm} = \text{MdV}$ Dipolmomentdichte

Was bringen uns diese Potentiale? $\vec{E} = -\nabla \Phi$, $\vec{B} = \nabla \times \vec{A}$ man kann die Felder aus den Potentialen berechnen!

Bedingung für D an einer Oberfläche: $D_{1\perp} = D_{2\perp} \Rightarrow$ falls über Kugeloberfläche $\rightarrow \frac{\partial \vec{D}_1}{\partial r} = \frac{\partial \vec{D}_2}{\partial r}$

Potential eines el. Dipols = Superposition der Potentiale der beiden einzelnen Dipolladungen: $\Phi(\vec{r}) = \Phi(q) + \Phi(-q)$



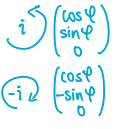
Sonstiges

$\text{Re}\{a\} \cdot \text{Re}\{b\} = \frac{1}{2} \text{Re}\{ab + a^* b^*\}$

$\hat{E}(r, \omega) = \frac{1}{2} [E(r) \delta(\omega - \omega_0) + E^*(r) \delta(\omega + \omega_0)]$

Dipolmoment: $p = \int \vec{r} \cdot \rho(\vec{r}) dV$

Geometrische Reihe: $\sum_{n=0}^{\infty} q^n = \frac{1}{1-q}$, $|q| < 1$



Monochromatische Wellen

können geschrieben werden als: $\vec{E}(\vec{r}, t) = \text{Re}\{\underline{\vec{E}}(\vec{r}) e^{-i\omega t}\}$, $\underline{\vec{E}}(\vec{r}) \in \mathbb{C}$

falls \vec{E} gegeben & wollen $\underline{\vec{E}}$ bestimmen:

- schreibe $\cos(kr - \omega t) = \text{Re}\{e^{i(kr - \omega t)}\}$ und schreibe \vec{E} auf diese Weise. $\int \cos(kr - \omega t) = \text{Re}\{-i e^{i(kr - \omega t)}\}$ $\Delta \text{Re}\{z\} + \text{Re}\{z\} = \text{Re}\{\Delta z\}$

Dann $\underline{\vec{E}}$ ablesen: $\vec{E} = \text{Re}\{\underline{\vec{E}} e^{-i\omega t}\}$

Ebene Wellen

Ebene Welle \Rightarrow monochromatische Welle

Basis von Lösungen der homogenen Wellengleichung.

Wegen Linearität der Maxwell'schen Gleichungen: Superposition ebener Wellen sind wiederum Lösungen der Wellengleichung.

In Problemen mit sphärischer Symmetrie: sphärische Wellen als Basisfunktionen benutzen!

einfachste sphärische Welle: $\vec{E}(r, \theta, \phi, t) = \frac{A \sin(\theta)}{r} [\cos(kr - \omega t) - (kr)^{-1} \sin(kr - \omega t)] \vec{n}_\theta$

sphärische Wellen: Flächen konstanter Phase sind Kugeln. d.h. wenn ich über die Fläche laufe, dann ändert sich auf der Fläche die Phase der Wellen nicht.

Bedingung, s.d. Feld reell im Zeitbereich: $\hat{A}^*(-\omega) = \hat{A}(\omega)$

$k(x^2+y^2)^{1/2} - k_y = \frac{kx^2}{2y_0}$ für $k y_0 \gg 1$ und $x \ll y_0$

Faltungintegral: $(f * g)(t) = \int_{-\infty}^{\infty} f(\tau) g(t - \tau) d\tau$

Oberflächenladungsdichte bestimmen: $\int \vec{E} \cdot d\vec{A} = \int \vec{E}_z \cdot d\vec{A} = \int \frac{\rho}{\epsilon_0} dA$ falls $\vec{E} \parallel \vec{n}$

Arbeits $W = \int \vec{F} \cdot d\vec{s}$

$\vec{a} \times \vec{b}$ ist \perp auf \vec{a} und \vec{b} . Falls $\vec{c} \parallel \vec{a}$, dann ist $\vec{a} \times \vec{b}$ auch \perp \vec{c}

Grenzflächen: Voraussetzung, damit ein exponentieller Abfall im Medium 2 möglich ist: $\frac{n_3 = \sqrt{\epsilon_3 \mu_3}}{n_2 = \sqrt{\epsilon_2 \mu_2}} \textcircled{1} n_2 < n_1$ $\textcircled{2} \theta_1 \geq \arcsin(\frac{n_2}{n_1})$

Räumliches Spektrum: $\hat{E}(k_x, k_y, k_z) = \frac{1}{(2\pi)^3} \iiint \hat{E}(x, y, z) e^{-i(k_x x + k_y y + k_z z)} dx dy dz$

falls $z=0$: $\hat{E}(k_x, k_y, 0) = \frac{1}{(2\pi)^2} \iint \hat{E}(x, y, 0) e^{-i(k_x x + k_y y)} dx dy$

Auskleinzeit: $e^{-i k r}$ unter dem Bruch.

ideal reflektierend/ideal leitend: $E=H=0$

Dispersion in Materien: Brechungsindex für elektromagnetische Wellen ist frequenzabhängig.

Aus Serie 10 Aufgabe 2: verschiedene Dipole: \vec{r} Ort des Dipols

- statischer elektrischer Dipol: $\Phi = \frac{1}{4\pi \epsilon_0} \int \frac{\rho(\vec{r}')}{|\vec{r} - \vec{r}'|} dV'$
- zeitharmonisch oszillierender elektrischer Dipol
- magnetischer Dipol

Intuitiv: Unterschied zu diesen Dipolen: